

九州大学 正員 山崎徳也

学生員 後藤恵之輔

学生員 ○川島基義

1. 序 八角形孔を有するキャストレーテッド・ビーム(図-1参照)に関する基礎的研究として、さきに著者らは八角形孔を有する矩形板の孔縁応力を算定したが、本研究はこれを拡張して腹部に八角形孔を有し等分布荷重を満載する工型単純ばりの孔縁応力式を説明し、さらに種々の八角形孔をもつ工型ばりの孔縁応力を算出し、孔形状および孔の位置が孔縁応力にあらわす影響について比較吟味するものである。

2. 写像函数 Z 面上の原点を中心を有する隅を丸めに八角形を面上の单位円に写像し、かつ八角形の外部を单位円の外部に写像する函数は、文献(1)により A, B, C, \dots を実数係数として次式で与えられる。

$$Z = A\zeta + \frac{B}{\zeta} + \frac{C}{\zeta^2} + \frac{D}{\zeta^3} + \frac{E}{\zeta^4} + \frac{F}{\zeta^5} + \dots \quad \text{(有限)} \quad \text{--- (1)}$$

ここに、 $Z = x + iy$, $\zeta = e^{a+i\beta}$, (x, y) : 直角座標, (a, β) : 直交曲線座標

式(1)を展開し両辺の実数部と虚数部をそれぞれ等置して $\beta = 0$ とすれば孔の境界を定義する式がえられる。

$$x = (A+B)\cos\beta + C\cos 3\beta + D\cos 5\beta + E\cos 7\beta + F\cos 9\beta + \dots \quad \text{--- (2)}$$

$$y = (A-B)\sin\beta - C\sin 3\beta - D\sin 5\beta - E\sin 7\beta - F\sin 9\beta - \dots \quad \text{--- (2)}$$

式(2)中の係数について本論では12個の値 $A \sim L$ を決定し、孔縁応力の計算には6個の値 $A \sim F$ を用うこととする。係数決定の条件は、式(2)で定義される曲線が往意の曲率半径を有する八角形孔の境界上の一定の点を通過すること、これら諸点を図-2に示すが各点の座標値は次のとくである。

$$x_1 = 0.5 ;$$

$$y_1 = 0$$

$$x_2 = 0.5 ;$$

$$y_2 = \frac{1}{3}O_{1y}$$

$$x_3 = 0.5 ;$$

$$y_3 = \frac{2}{3}O_{1y}$$

$$x_4 = O_{1x} + r \cos \theta_4 ;$$

$$y_4 = O_{1y} + r \sin \theta_4$$

$$x_5 = O_{1x} + r \cos \theta_5 ;$$

$$y_5 = O_{1y} + r \sin \theta_5$$

$$x_6 = \frac{1}{3}(2O_{1x} + 2O_{2x}) + r \cos \frac{1-2\gamma}{2}\pi ;$$

$$y_6 = \frac{1}{3}(2O_{1y} + 2O_{2y}) + r \sin \frac{1-2\gamma}{2}\pi$$

$$x_7 = \frac{1}{3}(O_{1x} + 2O_{2x}) + r \cos \frac{1-2\gamma}{2}\pi ;$$

$$y_7 = \frac{1}{3}(O_{1y} + 2O_{2y}) + r \sin \frac{1-2\gamma}{2}\pi$$

$$x_8 = O_{2x} + r \cos \theta_8 ;$$

$$y_8 = O_{2y} + r \sin \theta_8$$

$$x_9 = O_{2x} + r \cos \theta_9 ;$$

$$y_9 = O_{2y} + r \sin \theta_9$$

$$x_{10} = \frac{2}{3}O_{2x} ;$$

$$y_{10} = 0.5\lambda_1$$

$$x_{11} = \frac{1}{3}O_{2x} ;$$

$$y_{11} = 0.5\lambda_1$$

$$x_{12} = 0 ;$$

$$y_{12} = 0.5\lambda_1$$

ただし $O_{1x} = 0.5 - r$, $O_{1y} = 0.5\lambda_2 - r \tan \frac{1-2\gamma}{4}\pi$; $O_{2x} = 0.5 - 0.5(\lambda_1 - \lambda_2) \cot \gamma \pi - r \tan \frac{\gamma}{2}\pi$, $O_{2y} = 0.5\lambda_1 - r$;

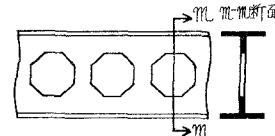


図-1

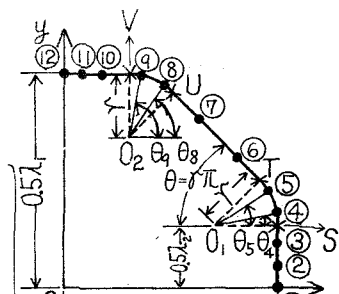


図-2

$$S_x = O_{1x} + r, S_y = O_{1y}; T_x = O_{1x} + r \cos \frac{1-2\gamma}{2}\pi, T_y = O_{1y} + r \sin \frac{1-2\gamma}{2}\pi; \\ U_x = O_{2x} + r \cos \frac{1-2\gamma}{2}\pi, U_y = O_{2y} + r \sin \frac{1-2\gamma}{2}\pi; V_x = O_{2x}, V_y = O_{2y} + r$$

ここに孔は単位幅 $\omega=1$ 、高さ $d_1=\lambda_1, d_2=\lambda_2$ で離半径は r とする。式(3)を式(2)に代入することにより未定係数 $A \sim L$ および β_2, β_3 に関する 22 元連立方程式がえられ、Newton の反復解法により決定されることとなる。なお $\theta_1, \theta_2, \theta_3, \theta_4$ として $\pi/12, \pi/6, \pi/3, 5\pi/12$ の値をとる。

3. 等分布荷重を満載する I 型単純ばかりの孔縁応力式の誘導 図 3 について孔より充分遠く離れた位置で α 二次元応力は次式のごとくなる。

$$\begin{aligned} \sigma_x &= -\frac{8}{2I} \left\{ (l^2 - x^2) y_1 + \frac{2}{3} y_1^3 - \frac{2}{3} C^2 y_1 \right\}, \quad \sigma_y = \frac{8}{2I} \left\{ \frac{1}{3} y_1^3 - C^2 y_1 - \frac{2}{3} C^2 y_1^3 \right\} \\ t_{xy} &= \frac{8}{2I} (C^2 - y_1^2) x, \end{aligned} \quad (4)$$

ここに、 l : レンジスパン、 I : もとの孔がない I 型ばかりの中立軸に関する面 2 次モーメントで C^2 は次式で与えられるものである。 $C^2 = h^2 \left(1 + \frac{zb^2}{\text{面積}} \right)$

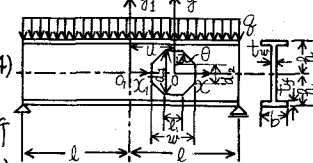


図-3

また直角座標における応力成分 $\sigma_x, \sigma_y, t_{xy}$ は KoloSov-Muskellishvili の公式によって複素ポテンシャル函数 $\varphi(z)$ と $\psi(z)$ により次式のごとく決定される。

$$\begin{aligned} \sigma_x + i\sigma_y &= 2(\bar{\varphi}(z) + \bar{\psi}(z)) \\ \bar{\psi} - \sigma_x + 2i t_{xy} &= 2(\bar{\varphi} \bar{\varphi}'(z) + \bar{\psi}'(z)) \end{aligned} \quad | \quad (5)$$

$$\text{ここで } \bar{z} = z - iy, \quad ' = \frac{\partial}{\partial \bar{z}}$$

一方、複素ポテンシャル函数 $\varphi(z), \psi(z)$ は一般に次式で表められる。

$$\varphi(z) = \sum_{n=1}^{\infty} A_n z^n + \sum_{n=1}^{\infty} \frac{a_n}{z^n}, \quad \psi(z) = \sum_{n=1}^{\infty} B_n z^n + \sum_{n=1}^{\infty} \frac{b_n}{z^n} \quad (6)$$

$z_1 = z + u$ (u : スパン中央より孔中心までの距離)、 $y_1 = y$ であることを考慮して式(4)および式(6)を式(5)に代入することにより未定係数 A_n, B_n が決定され、ポテンシャル函数 $\varphi(z), \psi(z)$ が次式のごとくえられることがある。

$$\begin{aligned} \varphi(z) &= \frac{8i}{8I} \left[-\frac{1}{12} z^4 - \frac{4}{3} z^3 + \frac{1}{2} (l^2 - u^2 - \frac{3}{5} C^2) z^2 + \frac{2}{3} C^2 z \right] + \sum_{n=1}^{\infty} \frac{a_n}{z^n} \\ \psi(z) &= -\frac{8i}{76I} \left[-\frac{1}{2} z^4 - \frac{4u}{3} z^3 + (l^2 - u^2 - \frac{17}{5} C^2) z^2 - 8C^2(u + \frac{C}{3} l) z \right] + \sum_{n=1}^{\infty} \frac{b_n}{z^n} \end{aligned} \quad (7)$$

キャストレーテッド・ビームの孔縁は通常何れ外力の作用しない自由表面であるゆえ、境界条件式として次式が成立する。

$$\varphi(\infty) + \frac{\bar{\varphi}(\infty)}{\bar{z}(\infty)} \bar{\varphi}'(\bar{z}) + \bar{\psi}(\bar{z}) = 0 \quad (8)$$

$$\text{ここで } \bar{\varphi}(z) = \varphi[\bar{z}(\zeta)] = \varphi(\zeta), \quad \bar{\psi}(z) = \psi[\bar{z}(\zeta)] = \psi(\zeta), \quad \zeta = (\zeta)_{d=0} = e^{i\theta} \quad (9)$$

式(1)および式(7)を式(9)の変換式を用いて ζ の函数とし、これらを式(8)に代入すれば次式がえられる。

$$\begin{aligned} 9(\zeta) + \left(\frac{C_1}{\zeta} + \frac{C_3}{\zeta^3} + \frac{C_5}{\zeta^5} + \frac{C_7}{\zeta^7} \right) \frac{8i}{8I} A \left[\frac{1}{3} (3UAB + i2C^2) + 2A \left(\frac{1}{3} AB - \frac{1}{2} (\frac{3C^2}{5} + l^2 - u^2) \right) \right] \frac{1}{\zeta} + \frac{4A^2 + A^3}{\zeta^2 + 3\zeta^3} - \sum_{n=1}^{\infty} n \bar{a}_n \zeta^{n+1} \\ - \frac{8i}{16I} A [A(3B^2 + 2AC) - 2B(l^2 - u^2 - \frac{17}{5} C^2) + 4(UAB + 2C^2(U + \frac{C}{3} l))] \frac{1}{\zeta} + A[2AB(l^2 - u^2 - \frac{17}{5} C^2)] \frac{1}{\zeta^2 + 3\zeta^3} + \sum_{n=1}^{\infty} \bar{b}_n \zeta^n = 0 \end{aligned} \quad (10)$$

ここで C_1, C_3, \dots, C_9 : 文献(1)参照。

式(10)の両辺に $d\zeta/2\pi i(\zeta - \zeta_0)$ を乘じ、Cauchy の定理を用いて積分すれば次式となる。

$$\begin{aligned} 9(\zeta) &= -\frac{8i}{8I} A \left[\frac{A}{6} (3B^2 + 2AC) - B \left(\frac{3C^2}{5} + l^2 - u^2 \right) + \frac{1}{3} (2UAB - i2C^2) \zeta + A \left[\frac{1}{3} AB - \frac{1}{2} \left(\frac{3C^2}{5} + l^2 - u^2 \right) \right] \zeta^2 + \frac{4A^2 + A^3}{3\zeta^2 + 12\zeta^4} \right] \\ &\quad - \frac{8i}{8I} A \left[\frac{1}{3} (3UAB + i2C^2) \left(\frac{C_1}{\zeta} + \frac{C_3}{\zeta^3} + \frac{C_5}{\zeta^5} + \frac{C_7}{\zeta^7} \right) + 2A \left[\frac{1}{3} AB - \frac{1}{2} \left(\frac{3C^2}{5} + l^2 - u^2 \right) \right] \left(\frac{C_1}{\zeta^3} + \frac{C_3}{\zeta^5} + \frac{C_5}{\zeta^7} + \frac{C_7}{\zeta^9} \right) \right. \\ &\quad \left. + UAB \left(\frac{C_1}{\zeta^3} + \frac{C_3}{\zeta^5} + \frac{C_5}{\zeta^7} + \frac{C_7}{\zeta^9} \right) + \frac{4}{3} \left(\frac{C_1}{\zeta^5} + \frac{C_3}{\zeta^7} + \frac{C_5}{\zeta^9} + \frac{C_7}{\zeta^{11}} \right) \right] + \bar{a}_1 \left(\frac{C_1}{\zeta} + \frac{C_3}{\zeta^3} + \frac{C_5}{\zeta^5} + \frac{C_7}{\zeta^7} \right) + 2\bar{a}_2 \left(\frac{C_1}{\zeta^2} + \frac{C_3}{\zeta^4} \right. \\ &\quad \left. + \frac{C_5}{\zeta^6} \right) + 3\bar{a}_3 \left(\frac{C_1}{\zeta} + \frac{C_3}{\zeta^3} + \frac{C_5}{\zeta^5} \right) + 4\bar{a}_4 \left(\frac{C_1}{\zeta^2} + \frac{C_3}{\zeta^4} \right) + 5\bar{a}_5 \left(\frac{C_1}{\zeta} + \frac{C_3}{\zeta^3} \right) + 6\bar{a}_6 \frac{C_1}{\zeta^2} + 7\bar{a}_7 \frac{C_1}{\zeta} + \frac{8i}{16I} A [4(UAB \\ &\quad + 2C^2(U - i\frac{1}{3}C^2)) \frac{1}{\zeta} + A \{ 2AB(l^2 - u^2 - \frac{17}{5} C^2) \} \frac{1}{\zeta^2} + \frac{4UA^2 + A^3}{3\zeta^2 + 2\zeta^4}] \end{aligned} \quad (11)$$

式(7)の至(8)を式(9)によりらの函数としたものと式(1)とについての同一べき数の系数を比較すれば、未定系数 $a_1 \sim a_{12}$ に関する連立方程式がえられ、これと解くことにより $a_1 \sim a_{12}$ が次のとく決定される。

$$\left. \begin{aligned} a_1 &= \frac{8}{81} A \left(\frac{2}{3} C^3 a'_1 + i U A a''_1 \right), \quad a_2 = \frac{8}{81} A i A a'_2, \quad a_3 = \frac{8}{81} A \left(\frac{2}{3} C^3 a'_3 + i U A a''_3 \right), \quad a_4 = \frac{8}{81} A i A a''_4 \\ a_5 &= \frac{8}{81} A \left(\frac{2}{3} C^3 a'_5 + i U A a''_5 \right), \quad a_6 = \frac{8}{81} A i A a'_6, \quad a_7 = \frac{8}{81} A \left(\frac{2}{3} C^3 a'_7 + i U A a''_7 \right), \quad a_8 = -\frac{8}{81} A i 2 A a''_8 \\ a_9 &= -\frac{8}{81} A \left(a'_9 + i a''_9 \right), \quad a_{10} = -\frac{8}{81} A i A a''_{10}, \quad a_{11} = \frac{8}{81} A \left(a'_{11} + i a''_{11} \right), \quad a_{12} = -\frac{8}{81} A i A a''_{12} \end{aligned} \right\} \quad \dots \quad (12)$$

ここに $a'_1, a''_1, \dots, a'_{12}, a''_{12}$ は $A, B, \dots, L, G, C_3, \dots, C_9, l, C^*$ および ζ の函数である。

したがつて、所要のポテンシャル函数 $\Phi(\zeta)$ が次式のとく決定される。

$$\begin{aligned} \Phi(\zeta) = & -\frac{8i}{81} A \left[\frac{A}{6} (3B^2 + 2AC) - B \left(\frac{3}{5} C^2 + l^2 - U^2 \right) + \frac{1}{3} (3UAB + i2C^3) \zeta + A \left\{ \frac{1}{3} AB - \frac{1}{2} \left(\frac{3}{5} C^2 + l^2 - U^2 \right) \right\} \zeta^2 \right. \\ & \left. + \frac{4A^2}{3} \zeta^3 + \frac{A^3}{12} \zeta^4 \right] + \frac{a_1}{\zeta} + \frac{a_2}{\zeta^2} + \dots + \frac{a_{12}}{\zeta^{12}} \end{aligned} \quad \dots \quad (13)$$

次に、このポテンシャル函数と式(1)の写像函数とを用いて孔隙应力 $(\delta_p)_{\alpha=0}$ が次式で決定される。

$$(\delta_p)_{\alpha=0} = 2 \left[\frac{\Phi'(0)}{\zeta(0)} + \frac{\Phi''(0)}{\zeta'(0)} \right] \quad \dots \quad (14)$$

式(1)と式(13)とを式(14)に代入のうえ整理すれば、所要の孔隙应力が次式のとくえられることがわかる。

$$\begin{aligned} J_0^2 \left[\frac{(\delta_p)_{\alpha=0}}{8463/I} \right] = & \frac{A}{60} \left(\frac{C^3}{\zeta_0} \right)^3 (A_0 + B_2 \cos 2\beta + B_4 \cos 4\beta + B_6 \cos 6\beta + B_8 \cos 8\beta + B_{10} \cos 10\beta) \\ & + \frac{A}{60} \left(\frac{C^3}{\zeta_0} \right)^2 (A_2 \sin 2\beta + A_4 \sin 4\beta + A_6 \sin 6\beta + A_8 \sin 8\beta) \\ & + \frac{A}{60} \left(\frac{C^3}{\zeta_0} \right)^2 (A_1 \sin \beta + A_3 \sin 3\beta + A_5 \sin 5\beta + A_7 \sin 7\beta + A_9 \sin 9\beta + A_{11} \sin 11\beta) \end{aligned} \quad \dots \quad (15)$$

ここに J_0^2 : 文献(1)参照、 ζ_0 : 長さの次元をもつ一定量、 $A_0 = 10A + 10BA'_1 + 90CA'_2 + 250DA'_3 + 490EA'_4 - 810FC_9$,

$$A_1 = \left\{ -9 - 15 \left(\frac{l}{\zeta_0} \right)^2 \left(\frac{U^2}{C^2} \right)^2 + 15 \left(\frac{U^2}{C^2} \right)^2 \left(\frac{A^2}{C^2} + 724FC_7 - 56AE_7 - 90AF_7 \right) + 30Aa''_2(B-3C) + 60Aa''_4(3C-5D) + 90Aa''_6(5D-7E) \right\}, \dots,$$

$$A_2 = \left\{ -9 - 15 \left(\frac{l}{\zeta_0} \right)^2 \left(\frac{U^2}{C^2} \right)^2 + 15 \left(\frac{U^2}{C^2} \right)^2 \left(10A^2C_7 - 9AF_7 \right), B_2 = -10B - 10A_1(A-3C) + 30Aa''_2(B+5D) + 50a''_4(3C+7E) + 70a''_6(5D+9F) - 630DEC_9, B_4 = -30C + 50DA'_1 - 30A'_3(A-7E) + 50A'_5(B+9F) + 210CA'_7 - 450DC_9, \dots, B_{10} = -90F + 90AC_9 \right.$$

4. 計算例および考察 2. に求められた写像函数の系数 $A \sim F$ を用い、傾斜刃の角度 $\theta = 37^\circ \sim 57^\circ$ (1° 刻み)、孔の高さと幅の比 $\lambda_1 = 0.55 \sim 1.15$ (0.1 刻み)、孔の垂直刃の高さと幅の比 $\lambda_2 = 0.264 \sim 0.864$ (0.1 刻み)の各種八角形孔を有する I 型単純ばかりの孔隙应力を算定し、孔隙应力の分布例を第1、第2図附につけ、 β を变数として図4～図6に示した。なお、隅半径は $r = r/\omega = 0.1$ とし、スパンや断面に関して $l/\omega = 35$ 、 $R/\omega = 0.866$ 、 $bL/\omega = 4.575$ を用いた。図7～図9は孔隙の最大应力を $\theta, \lambda_1, \lambda_2$ を变数として各孔の位置についてプロットしたものであり、その考察を述べれば大略以下のとくである。

(1) Case (a): $U/l = 0$ すなはち曲げモーメントの半が作用する荷重場に孔が存在する場合には、 θ, λ_2 の如何にかかわらず最大应力はほぼ一定であるが、 λ_1 の增加に伴い急速に増大する。したがつて、曲げモーメントが卓越するごときキャストレーテッド・ビームにおいては、 θ, λ_2 の大きさに関係なく、 λ_1 をできる限り小さくする方が应力集中を避けうる意味から有利である。

(2) Case (c):

$U/l = 0.8$ すなはちせん断力が卓越する場合には $\theta = 43^\circ$

近傍において最大应力は最

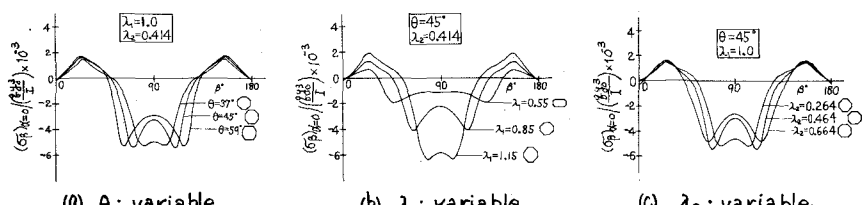


図4 $U/l = 0$ のときの孔隙应力

い) 値を示し、
ひの増加あ
りび孔の減
少にしたが
つて急減す
る。これよ
りせん断力
が卓越する
じときキャス
トレーテッド。

ビームにおいては、 $\theta = 45^\circ$ とし λ_1 を大
きくするかあるいは λ_2 を小さくする方
が応力集中に関して有利である。

(3) Case (b): $U/l = 0.4$ のひめら曲げ
モーメントおよびせん断力が一般的に
作用する場合は、ひの如何にかかわらず
最大応力はほぼ一定であるが、ひお
び孔が大きいほどその値は小さい。し
たがつて、かかる荷重場にあるキャストレ
ーテッドビームにおいては、ひの大きさに関係なく θ, λ_1 を小さくすることにより応力集中が避
けられることとなる。

5. 結び 本論は腹部に種々の八角形孔を有し等分布荷重を満載する工型単純ばかりの孔像応力を複
素変数法により求め、いかなる孔形状にすれば応力集中が避けられるかについて論じたものである。
式(15)の孔像応力式は本論にとりあげた八角形孔のみならず円孔を初め矩形孔、六角形孔など、 x, y 軸に
関して対称な任意形孔の場合にも適用しうることは論と俟たない。なお本研究の進行中に工型単純ば
りの孔像応力について J.E. Bower の論文が発表されたが、本論とは異像函数が異り、適用範囲も限ら
れる難点とともに他、孔形状
に対する吟味考察にも及んで
いない。最後に本研究には文
部省科学研究費の補助をうけ
たことを付記する。

り山崎後藤：八角形孔を有
する矩形板の孔像応力、九大
工学雑誌、42-2 (未発表)。

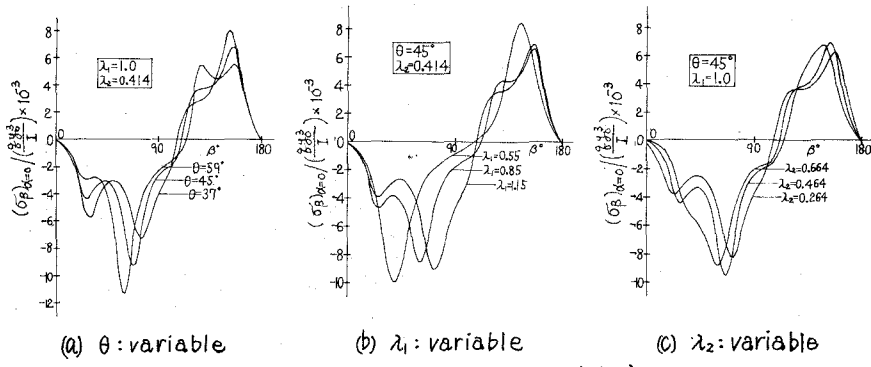


図-5 $U/l = 0.4$ のときの孔像応力

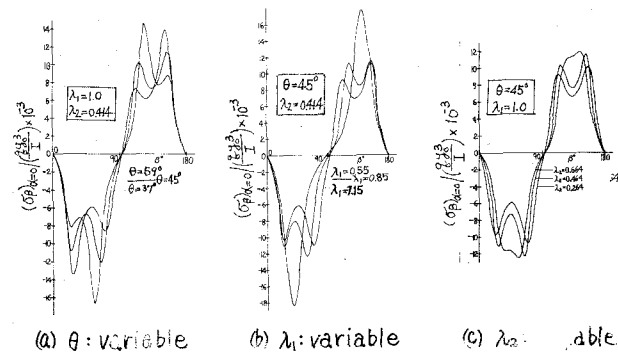


図-6 $U/l = 0.8$ のときの孔像応力

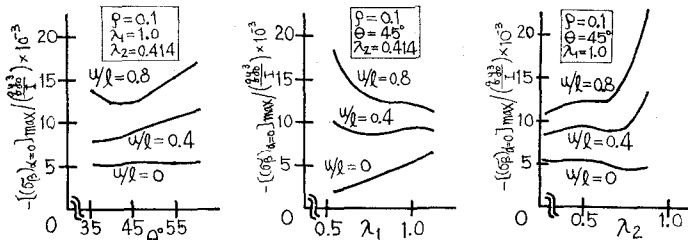


図-7

図-8

図-9

2) J. E. Bower: Experimental Stresses in Wide-Flange Beams With Holes, Proc. ASCE, 92-ST5, Oct. 1966.